

В.І. Бойчук, І.В. Білинський, Р.І. Пазюк

Мінізонна електропровідність у надгратках кубічних квантових точок гетеросистеми $\text{InAs}/\text{Ga}_x\text{In}_{1-x}\text{As}$

Дрогобицький державний педагогічний університет імені Івана Франка, вул. Стрийська, 3, Дрогобич, 82100, Україна, ri.pazyuk@gmail.com

У даній роботі запропоновано модель надграток кубічних квантових точок (НККТ) різної вимірності $\text{InAs}/\text{Ga}_x\text{In}_{1-x}\text{As}$. Для визначення енергетичного спектру електронів та дірок надгратки квантових точок використано наближення ефективної маси та модифіковану модель Кроніга-Пенні. У рамках цієї моделі зміною відповідних відстаней між елементами НГ отримано спектри зарядів 3D-, 2D- та 1D-награток. Обчислено детально залежність енергій від хвильового вектора електронних та діркових надграткових підзон: підбар'єрних та надбар'єрних. Кількість підбар'єрних підзон визначається розмірами КТ, а ширина кожної підзони задається розміром КТ, відстанями між надгратковими елементами та номером підзони.

Отримано та проаналізовано залежність енергії Фермі та концентрації носіїв струму від температури, концентрації домішок, енергії домішкових рівнів. Враховано залежність часу релаксації електронів від температури, зумовлену розсіюванням носіїв як на фонах, так і на донорних центрах. Досліджено вплив домішкової системи на електропровідність НККТ. Показано, що за наявності глибоких домішок (-750 меВ) температурна залежність провідності $\text{InAs}/\text{Ga}_x\text{In}_{1-x}\text{As}$ НГ має характерні максимуми, які визначаються концентраціями домішок та вимірностями НГ. Для домішок з енергією залягання -150 меВ отримуємо іншу температурну залежність провідності.

Ключові слова: квантова точка, надгратка, електронні стани, мінізона, електрична провідність.

Стаття постуила до редакції 07.02.2017; прийнята до друку 05.03.2017.

Вступ

В останні роки значно зростає інтерес дослідників, інженерів та технологів до низькорозмірних систем, особливий клас яких складають надгратки. Практична значимість таких систем для електроніки та оптоелектроніки пов'язана з підвищенням швидкодії і зниженням енергетичних втрат. Для фундаментальної науки надгратки, зокрема квантових точок, становлять інтерес як абсолютно нові типи штучних матеріалів з незвичайними фізичними властивостями. Шляхом конструювання [1] цих матеріалів сучасні технології дозволяють отримувати наноструктури з наперед заданими фізичними властивостями, які активно використовуються у конкретних електронних і оптоелектронних пристроях [2].

У роботах [3-5] розвинуто теорію електронної динамічної провідності для багатобар'єрних структур як плоскої, так і циліндричної форм, використовуючи моделі ефективних мас електрона та прямокутних потенціалів. Автори [6] досліджують надгратки тунельно зв'язаних КТ GaAs в матриці $\text{Al}_x\text{Ga}_{1-x}\text{As}$,

періодично розташованих вздовж еліптичного квантового дроту. В роботі показано, що енергетичний спектр електрона у таких надгратках є рядом мінізон енергій, а положення та кількість цих мінізон визначаються розмірами КТ. Ширина дозволених та заборонених мінізон залежить від товщини і висоти потенціальних бар'єрів.

Моделі тривимірних надграток InAs/GaAs та Ge/Si квантових точок (КТ) різної геометрії (кубічної і тетрагональної) розглядаються у роботах [7, 8]. Авторами знайдено електронний та фононний спектри таких надграток. Досліджено залежність тензора провідності надгратки від основних її параметрів і показано, що властивості надграток більш чутливі до міжточкових відстаней, ніж до форми квантових точок.

В роботі [9] в наближенні сильного зв'язку досліджуються електричні властивості надграток сферичних квантових точок (НККТ) $\text{GaAs}/\text{Al}_x\text{Ga}_{1-x}\text{As}$ різної вимірності, в залежності від енергії рівня Фермі та температури, концентрації алюмінію в матриці. Обчислено електропровідність, що містить внески s- і трьох p-мінізон для заданих параметрів

системи, максимум якої знаходиться біля центру мінізони. Ріст електропровідності спостерігається при зменшенні радіуса КТ та концентрації алюмінію, а також зі збільшенням вимірності НСКТ. Досліджено також температурну залежність електропровідності для різних параметрів таких систем.

У даній роботі запропоновано модель надграток кубічних квантових точок (НККТ) різної вимірності $\text{InAs}/\text{Ga}_x\text{In}_{1-x}\text{As}$. Досліджено зонний енергетичний спектр системи. Отримано та проаналізовано температурну залежність енергії Фермі домішкової НККТ. Враховано залежність часу релаксації електронів від температури, зумовлену розсіюванням носіїв як на фонах, так і на донорних центрах. Досліджено вплив домішкової системи на електропровідність НККТ.

Постановка задачі

Розглянемо систему просторово впорядкованих кубічних квантових точок однакового розміру, що знаходяться у матриці, як показано на рис.1, – надгратку кубічних квантових точок (НККТ). Якщо $a_1 = a_2 = a_3$, то НККТ будемо називати 3D-надграткою, коли ж $a_3 = a_1 = a_2$ – 2D-надграткою, а для $a_3 = a_1 = a_2$ – 1D-надграткою. Зрозуміло, що вектор трансляції над гратки:

$$\mathbf{\bar{n}} = n_1 \mathbf{\bar{a}}_1 + n_2 \mathbf{\bar{a}}_2 + n_3 \mathbf{\bar{a}}_3,$$

де n_i ($0, \pm 1, \pm 2, \dots$), $\mathbf{\bar{a}}_i$ ($i=1, 2, 3$) – основні вектори трансляції, які за напрямками збігаються з осями декартової системи координат.

Нас цікавлять наногетеросистеми широкозонних напівпровідників. Теоретичне дослідження таких систем часто призводить до потреби розв'язання рівняння Шредінгера для електронів чи дірок. Задачу можна розв'язувати різними методами: скінчених елементів [10], приєднаних плоских хвиль [11] чи псевдопотенціалу [12] та ін. Ми обмежимося дослідженнями НККТ з малими розмірами (2-10 нм) напівпровідникових квантових точок, для яких характерне розмірне квантування заряджених частинок. Через те при визначенні енергій та хвильових функцій не лише електронів, але й дірок (важких дірок) використаємо однозонне наближення та наближення ефективної маси.

Рівняння Шредінгера, яке описує рух однієї зарядженої частинки (електрона чи дірки) в НККТ, можна записати в наступному вигляді:

$$\left[-\frac{\hbar^2}{2} \nabla \frac{1}{m(\mathbf{r})} \nabla + V(\mathbf{r}) \right] \Psi_V(\mathbf{r}) = E \Psi_V(\mathbf{r}), \quad (1)$$

Періодичний потенціал $V(\mathbf{r})$, який відповідає нескінченній послідовності кубічних квантових точок:

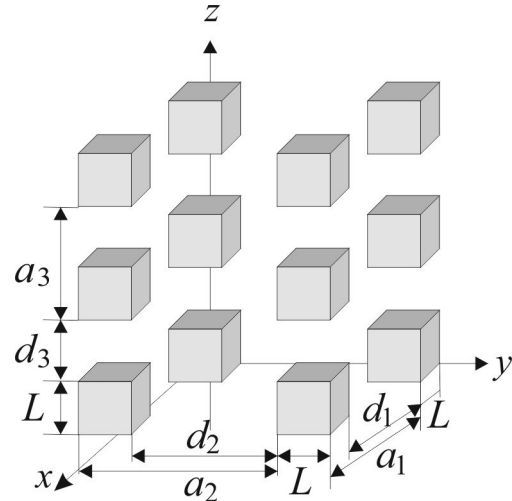


Рис. 1. Геометрична схема надгратки кубічних квантових точок.

$$V(\mathbf{r}) = \begin{cases} 0, & \begin{cases} n_1 a_1 \leq x \leq n_1 a_1 + L \\ n_2 a_2 \leq y \leq n_2 a_2 + L \\ n_3 a_3 \leq z \leq n_3 a_3 + L \end{cases} \\ U_0, & \text{в іншій області простору,} \end{cases} \quad (2)$$

де $m(\mathbf{r})$ – ефективна маса частинки.

Рівняння Шредінгера (1) точно розв'язати не можна. Спростимо вираз (2) для потенціальної енергії частинки і наближено зобразимо $V(\mathbf{r})$ у вигляді суми трьох незалежних періодичних функцій координат x, y і z :

$$V(\mathbf{r}) = V(x) + V(y) + V(z).$$

Для розрахунку енергетичного спектра електронів (дірок) у надгратці необхідно розв'язати рівняння Шредінгера з періодичним потенціалом:

$$V(x_i) = \begin{cases} 0, & n_i a_i \leq x_i \leq n_i a_i + L \\ U_0, & n_i a_i + L \leq x_i \leq (n_i + 1) a_i \end{cases}, \quad (3)$$

де $i=1, 2, 3$; $x_1 = x$, $x_2 = y$, $x_3 = z$. Такий вибір потенціалу дозволяє розділити рух зарядженої частинки за трьома напрямками. Тривимірне рівняння Шредінгера (1) в цьому випадку переписеться у вигляді трьох ідентичних одновимірних рівнянь. Тоді об'єднана хвильова функція рівняння (1) може бути представлена як добуток трьох одновимірних власних функцій:

$$\Psi_V(\mathbf{r}) = \Psi_{V_1, V_2, V_3}(x_1, x_2, x_3) = \prod_{i=1}^3 \Phi_{V_i}(x_i), \quad (4)$$

а енергія $E_V = E_{V_1} + E_{V_2} + E_{V_3}$. Для визначення E_{V_i} та Φ_{V_i} необхідно використати рівняння:

$$\left[-\frac{\hbar^2}{2} \frac{\partial}{\partial x_i} \frac{1}{m(\mathbf{r})} \frac{\partial}{\partial x_i} + V(x_i) \right] \Phi_{V_i}(x_i) = E_{V_i} \Phi_{V_i}(x_i), \quad i=1, 2, 3 \quad (5)$$

Рівняння Шредінгера (5) відповідають відомій моделі Кроніга-Пенні. Згідно цієї моделі розв'язок кожного рівняння (5) відомий [13]. Енергія системи визначається з відповідних дисперсійних рівнянь в

різних областях енергії частинки.

Якщо $0 < E_v < U_0$, то дисперсійне рівняння має вигляд:

$$\begin{aligned} & \cos(k_i a_{v_i}) - \cos(\chi_{v_i} L) \operatorname{ch}(\xi_{v_i} d) + \\ & + \frac{(\chi_{v_i} m_2)^2 - (\xi_{v_i} m_1)^2}{2\chi_{v_i} m_2 \cdot \xi_{v_i} m_1} \sin(\chi_{v_i} L) \operatorname{sh}(\xi_{v_i} d) = 0, \end{aligned} \quad (6, a)$$

Коли ж $E_v > U_0$, то:

$$\begin{aligned} & \cos(k_i a_{v_i}) - \cos(\chi_{v_i} L) \cos(\xi_{v_i} d_{v_i}) + \\ & + \frac{(\chi_{v_i} m_2)^2 + (\xi_{v_i} m_1)^2}{2\chi_{v_i} m_2 \cdot \xi_{v_i} m_1} \sin(\chi_{v_i} L) \sin(\xi_{v_i} d_{v_i}) = 0, \end{aligned} \quad (6, б)$$

де $\chi_{v_i} = \sqrt{\frac{2m_1(U_0 + E_{v_i})}{\hbar^2}}$, $\xi_{v_i} = \sqrt{\frac{2m_2|E_{v_i}|}{\hbar^2}}$, m_1, m_2 – ефективні маси квазічастинки всередині та ззовні КТ. Отже,

$$E_v(\mathbf{k}) = \sum_{i=1}^3 E_{v_i}(k_i), \quad v = \{v_1, v_2, v_3\}, \quad (7)$$

Знаючи закон дисперсії електронів та дірок у НККТ, можна визначити питому електропровідність

системи. Помістимо дану систему в однорідне електричне поле. Якщо напруженість цього поля відносно невелика, то вектор густини струму визначається такою загальною формулою [14]:

$$\mathbf{j} = \frac{e^2}{4\pi^3} \int \tau(T, E) \mathbf{v} \frac{\partial f}{\partial E} (\mathbf{v}, \nabla \Phi) d\mathbf{k}, \quad (8)$$

де f – функція розподілу електронів, \mathbf{v} – їх середня швидкість, $\tau(T)$ – час релаксації; напруженість зовнішнього електростатичного поля виражено через скалярний потенціал ($\mathbf{E} = -\nabla \Phi$).

Співвідношення (8) можна записати так:

$$j_i = \sum_j \sigma_{ij} E_j, \quad (8')$$

У формулі (8') для тензора провідності враховано внесок усіх заповнених електронних мінізон структури, тому:

$$\sigma_{ij} = \sum_n \sigma_{ij}^{e,n} + \sum_m \sigma_{ij}^{h,m}, \quad (9)$$

де $\sigma_{ij}^{e,n}$, $\sigma_{ij}^{h,m}$ – компоненти тензорів електронної та діркової провідності. Зокрема, для електронної провідності маємо:

$$\sigma_{ij}^{e,n} = \frac{e^2}{4\pi^3 k_B T} \iiint_{BZ} \tau(T, E) v_i^{e,n}(\mathbf{k}) v_j^{e,n}(\mathbf{k}) \frac{\exp\left[\frac{E_e^n(\mathbf{k}) - E_F}{k_B T}\right]}{\left\{ \exp\left[\frac{E_e^n(\mathbf{k}) - E_F}{k_B T}\right] + 1 \right\}^2} d\mathbf{k}, \quad (10)$$

У формулі (10) введено позначення: e – заряд електрона, k_B – стала Больцмана, T – температура, E_F – енергія рівня Фермі системи електронів, $v_j^n(\mathbf{k})$ – i -складова вектора групової швидкості електрона n -підзони:

$$v_i^n(k_1, k_2, k_3) = \frac{1}{\hbar} \frac{\partial E_e^n(k_1, k_2, k_3)}{\partial k_i}.$$

Інтегрування в (10) здійснюється по квазізоні

Бріллюєна. Аналогічним чином можна записати вираз для матричних елементів діркової провідності.

Енергію Фермі знайдемо з умов електронейтральності. Розглянемо випадок легування матриці одним типом одновалентних донорних домішкових атомів. Тоді для визначення енергії Фермі, як функції температури, отримаємо рівняння:

$$\sum_{n, \mathbf{k}} \frac{2}{\exp\left(\frac{E_e^n(\mathbf{k}) - E_F}{k_B T}\right) + 1} = \sum_{m, \mathbf{k}} \frac{2}{\exp\left(\frac{E_F - E_h^m(\mathbf{k})}{k_B T}\right) + 1} + \frac{n_D}{\exp\left(\frac{E_F - E_D}{k_B T}\right) + 1}, \quad (11)$$

де n_D – концентрація донорів, E_D – енергія залягання донорного рівня, E_F – енергія Фермі

гетеросистеми, енергія електронних $E_e^{(p)}(\mathbf{k})$ та діркових $E_h^{(m)}(\mathbf{k})$ підзон, енергія залягання донорних

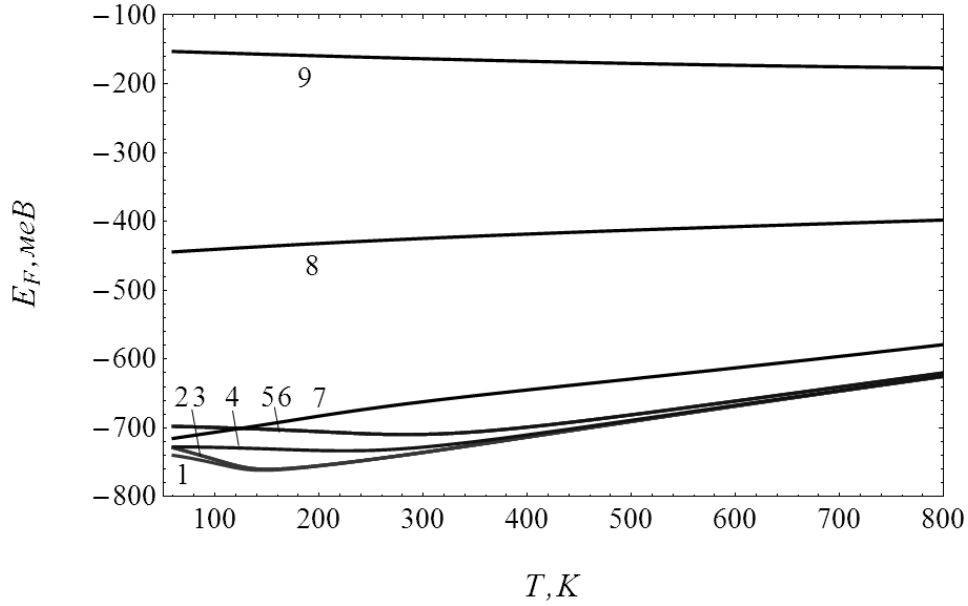


Рис. 2. Температурна залежність енергії рівня Фермі 3D-НККТ InAs/GaAs ($L = 96 \text{ \AA}$) при різних концентраціях домішок (10^{14} см^{-3} – криві 1, 2, 3; 10^{16} см^{-3} – криві 4, 5, 6; 10^{18} см^{-3} – криві 7, 8, 9) та енергіях залягання домішкового рівня (-750 меВ – криві 1, 4, 7; -450 меВ – криві 2, 5, 8; -150 меВ – криві 3, 6, 9).

станів E_D відрахована від дна зони провідності напівпровідникової матриці. Ліва частина рівняння (11) задає концентрацію електронів у електронних підзонах, перший доданок у правій частині – концентрацію дірок у діркових підзонах, а другий – доданок правої частини рівняння – концентрацію дірок на домішкових рівнях.

З формули (10) видно, що провідність $\sigma_{ij}^{e,n}$ визначається також часом релаксації $\tau(T, E)$. Більшість авторів для простоти припускають, що час релаксації τ є сталим і рівним, наприклад, $\tau_0 = 10^{-12} \text{ с}$ [8]. При невеликих змінах температури таке припущення у першому наближенні є обґрунтованим. Однак, відомо, що для більшості напівпровідників [15] маємо значну нелінійну зміну часу релаксації з температурою. Ця залежність $\tau = \tau(T, E)$ зумовлена розсіянням електронів як на фононах, так і на донорних центрах. Розсіювання на акустичних фононах за рахунок потенціалу деформації дозволяє записати час релаксації у вигляді [16]:

$$\tau_a = C_a E^{r_a},$$

$$\text{де } r_a = -\frac{1}{2}, C_a = \frac{(2\pi)^2 \hbar^2}{2B_a \sqrt{2m^3}} = \frac{\pi m c_s^2 \hbar^4}{V_0 k T E_1^2 \sqrt{2m^3}}, \quad (12)$$

c_s ; $10^{-5} \frac{\text{см}}{\text{с}}$ – усереднена фазова швидкість звукових хвиль, m – ефективна маса квазічастинки, V_0 – об'єм елементарної комірки.

Тоді як розсіювання на поляризаційних фононах характеризується наступним часом релаксації:

$$\tau_p = C_p E^{r_p},$$

$$\text{де } r_p = +\frac{1}{2},$$

$$C_p = \frac{(2\pi)^2 \hbar^2}{2B_p \sqrt{2m^3}} = \frac{V_0 M_1 M_2 \hbar^2 \omega_0^2}{4\pi k T e^4 (M_1 + M_2) \sqrt{2m}}, \quad (13)$$

Врахування розсіювання на донорних центрах:

$$\tau_D = C_D E^{r_D},$$

$$\text{де } r_D = +\frac{3}{2},$$

$$C_D = \frac{(2\pi)^2 \hbar^2}{2B_D \sqrt{2m^3}} \approx \frac{\epsilon^2 E^{3/2} \sqrt{2m}}{\pi n_D e^4} \ln^{-1} \left(\frac{8m E r_0}{\hbar^2} \right), \quad (14)$$

r_0 – радіус екранування, n_D – концентрація донорної домішки.

Загальний час релаксації визначається з рівняння: $\frac{1}{\tau} = \frac{1}{\tau_a} + \frac{1}{\tau_p} + \frac{1}{\tau_D}$.

Аналіз отриманих результатів

Конкретні числові розрахунки проведено для надграток кубічних квантових точок гетеросистеми InAs/Ga_xIn_{1-x}As_z наступними параметрами:

$$m_{1e} = 0,023 m_0, m_{2e} = (0,023 + 0,044x) m_0,$$

$$V_e = 0,77 \text{ eV}$$

$$m_{1h} = 0,55 m_0, m_{2h} = (0,55 + 0,04x) m_0,$$

$$V_h = 0,33 \text{ eV}$$

З формули (10) видно, що для визначення питомої провідності НККТ необхідно в першу чергу визначити енергію Фермі гетеросистеми.

На рис. 2 криві температурних залежностей рівня

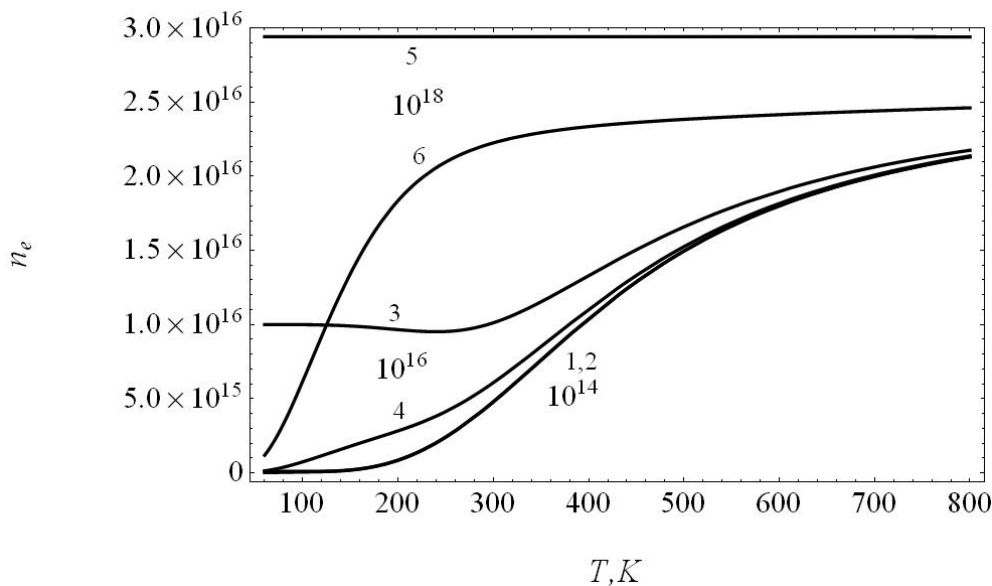


Рис. 3. Температурна залежність концентрації електронів основного стану 3D-НККТ InAs/Ga_{0.15}In_{0.85}As ($L = 96 \text{ \AA}$) для різних концентрацій домішок (10^{14} см^{-3} – криві 1,2; 10^{16} – криві 3,4; 10^{18} см^{-3} – криві 5, 6) та енергіях залягання домішкового рівня (-150 меВ – криві 1, 3, 5; -750 меВ – криві 2, 4, 6).

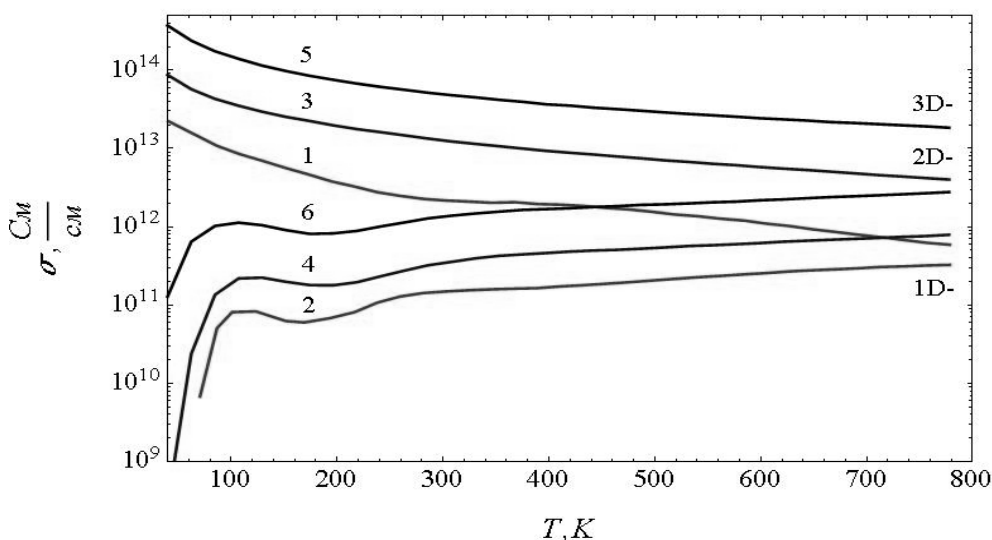


Рис. 4. Температурна залежність електропровідності НККТ InAs/Ga_{0.15}In_{0.85}As ($L = 96 \text{ \AA}$) різних вимірностей (1D – криві 1, 2; 2D – криві 3, 4; 3D – криві 5, 6), енергій залягання домішкового рівня E_D (-150 меВ – криві 1, 3, 5; -750 меВ – криві 2, 4, 6) та концентрації домішок 10^{18} см^{-3} .

Фермі наведені для випадку 3D-НККТ InAs/GaAs ($L = 96 \text{ \AA}$) при різних концентраціях донорних домішок $n_D = 10^{14}, 10^{16}, 10^{18} \text{ см}^{-3}$ та різних значень енергії залягання домішкового рівня $E_D = -150, -450, -750 \text{ меВ}$. Отримано різний характер залежностей енергії Фермі від температури для різних величин концентрації n_D . Так, у випадку концентрації $n_D = 10^{18} \text{ см}^{-3}$ функції $E_F = E_F(T)$ (криві 7,8,9) є монотонними, тоді як при менших концентраціях $n_D = 10^{14}, 10^{16} \text{ см}^{-3}$ (криві 1-6) отримуємо мінімуми при певних температурах. Зміна енергії залягання домішкового рівня E_D значно змінює енергію E_F за наявності великих

концентрацій донорів ($n_D = 10^{18} \text{ см}^{-3}$). Для малих n_D ($n_D = 10^{16} \text{ см}^{-3}, 10^{14} \text{ см}^{-3}$) хімічний потенціал слабо залежить від E_D , а якщо $T > 600 \text{ К}$ і $n_D = 10^{16} \text{ см}^{-3}$ та $T > 100 \text{ К}$ і $n_D = 10^{14} \text{ см}^{-3}$, то $E_F \neq E_F(E_D)$.

Наступний етап роботи стосувався дослідження залежності концентрації носіїв струму в підзонах від зазначених параметрів.

Обчислення концентрації електронів n_e у підзонах показали, що залежно від енергії залягання донорних рівнів можливі різні типи залежностей для заданих концентрацій домішок. При енергії донорів $E_D < \min E_{\text{оч}}(\vec{k}) = -714 \text{ меВ} < \min E_{\text{зв}}(\vec{k}) = -609 \text{ меВ}$,

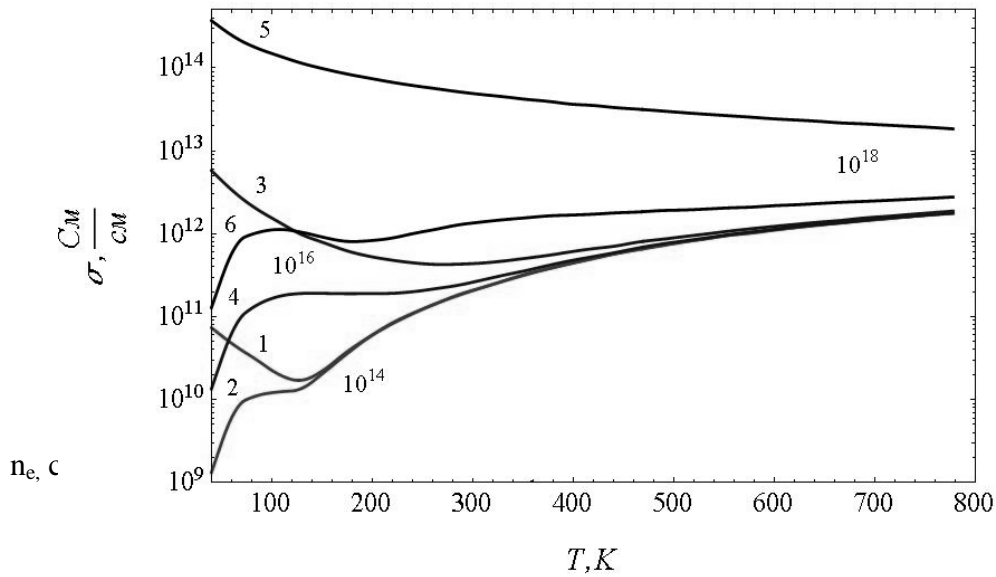


Рис. 5. Температурна залежність електропровідності 3D-НККТ InAs/Ga_{0,15}In_{0,85}As ($L = 96 \text{ \AA}$) для різних концентрацій домішок: 10^{14} см^{-3} – криві 1, 2; 10^{16} см^{-3} – криві 3, 4; 10^{18} см^{-3} – криві 5, 6 та енергіях залягання домішкового рівня (-150 меВ – криві 1, 3, 5; -750 меВ – криві 2, 4, 6).

наприклад, $E_D = -750 \text{ меВ}$, електрони як в збуджених, так і основній підзонах практично відсутні і концентрація носіїв заряду n_e монотонно зростає з температурою (криві 2, 4, 6 на рис. 3) для всіх значень n_D ($10^{14}, 10^{16}, 10^{18} \text{ см}^{-3}$ відповідно). Для значень енергії донорів $E_D > \max E_{\text{зв}}(\mathbf{k}) = -340 \text{ меВ} > \max E_{\text{оч}}(\mathbf{k}) = -666 \text{ меВ}$, наприклад, $E_D = -150 \text{ меВ}$, залежність від температури концентрації n_e є різною. Для кожного n_D існує своя область температур, в якій концентрація носіїв струму від температури не залежить. Зокрема, якщо $n_D = 10^{16} \text{ см}^{-3}$, то такою областю є $T < 260 \text{ К}$, а якщо $n_D = 10^{16} \text{ см}^{-3}$ – $T < 160 \text{ К}$. Якщо температура є вища, то маємо монотонне зростання n_e з температурою. Зауважмо, що для $n_D = 10^{18} \text{ см}^{-3}$ у розглядуваній області $T \leq 800 \text{ К}$ n_e не змінюється з температурою.

Помістимо досліджувану систему у зовнішнє електричне поле. Нехай напруженість електричного поля направлена вздовж осі координат Oz для надграток різних вимірностей. Для 3D-надгратки, яка має кубічну симетрію, провідність не залежить від напрямку напруженості, тому σ можна вважати скаляром. Коли ж маємо 2D- чи 1D-надгратки, то густина струму НККТ є анізотропна величина, тобто залежить від напрямку вектора \mathbf{E} .

Питома провідність надгратки InAs/Ga_{0,15}In_{0,85}As також залежить як від концентрації та енергії іонізації донорів, так і температури. На рис.4 наведено температурну залежність електропровідності систем різних вимірностей (1D – криві 1, 2; 2D – криві 3, 4; 3D – криві 5, 6) та енергій залягання домішкового рівня E_D (-150 меВ – криві

1, 3, 5; -750 меВ – криві 2, 4, 6) при концентрації домішок $n_D = 10^{18} \text{ см}^{-3}$. Для заданих систем вибрано наступні параметри: розміри КТ – $L = 96 \text{ \AA}$ при відстанях між ними $d = 12 \text{ \AA}$. Як видно з рисунку, зі збільшенням вимірності системи провідність зростає при заданій температурі. При цьому температурна залежність провідності для різних значень E_D – різна. Коли енергія залягання домішкового рівня $E_D = -150 \text{ меВ}$ (криві 1, 3, 5 на рис. 4) електропровідність НККТ має «металічний» характер – монотонно спадає з ростом температури. При $E_D = -750 \text{ меВ}$ (криві 2, 4, 6 на рис. 4) електропровідність росте зі збільшенням температури. Немонотонний характер її в області низьких температур ($T < 300 \text{ К}$), на нашу думку, пояснюється наявністю двох взаємопоборюючих механізмів: росту концентрації носіїв струму (електронів) та зменшення їх часу релаксації.

Збільшення концентрації домішок n_D до значення 10^{18} см^{-3} легуванням матриці одновалентною донорною домішкою призводить до росту на порядки провідності (криві 5, 6 на рис. 5) порівняно з $n_D = 10^{16} \text{ см}^{-3}$ (криві 3,4) та $n_D = 10^{14} \text{ см}^{-3}$ (криві 1, 2). В області низьких температур ($T < 300 \text{ К}$) електропровідність σ суттєво залежить як від концентрації n_D , так і енергії E_D донорів. Як видно з рис.5, при $n_D = 10^{14} \text{ см}^{-3}$, починаючи з $T > 160 \text{ К}$, зникає залежність $\sigma(E_D)$ (для концентрації $n_D = 10^{16} \text{ см}^{-3}$ – при $T > 560 \text{ К}$). Одночасно при високих температурах ($T > 500 \text{ К}$) провідність слабо залежить і від концентрації домішок n_D . Це можна пояснити тим, що при таких температурах суттєвими стають переходи електронів

з підзон валентної зони на електронні підзони зони провідності.

Висновки

У роботі досліджено властивості системи просторово впорядкованих кубічних квантових КТ, що знаходяться у матриці (НГ квантових точок). Розглянуто випадок НП наногетероструктури $\text{InAs}/\text{Ga}_{1-x}\text{In}_x\text{As}$. Для визначення енергетичного спектру електронів та дірок НГ квантових точок використано наближення ефективної маси та модифіковану модель Кроніга-Пенні. У рамках цієї моделі зміною відповідних відстаней між елементами НГ можна отримати спектри зарядів 3D-, 2D- та 1D-награток.

Конкретні обчислення проведено для НККТ з малими розмірами квантових точок 96 \AA для КТ InAs . Отримано детальну залежність енергій від хвильового вектора електронних та діркових надграткових підзон. Підзони є двох типів: підбар'єрні, енергія яких менша енергії розриву зони провідності та валентної зони, та надбар'єрні підзони з більшою енергією. Кількість підбар'єрних підзон визначається розмірами КТ, а ширина кожної підзони задається розміром КТ, відстанями між надгратковими елементами та номером підзони.

Для легованої донорними домішками матриці, за наявності домішок одного типу, досліджено залежність рівня Фермі, концентрації носіїв струму від температури ($40 \leq T \leq 800 \text{ K}$), концентрації домішок (10^{14} cm^{-3} , 10^{16} cm^{-3} , 10^{18} cm^{-3}), енергії домішкових рівнів від дна зони провідності напівпровідникової матриці (-750 meV , -150 meV).

Встановлено, зокрема, що температурна залежність концентрації електронів та дірок у

підзонах НГ визначається положенням донорних рівнів відносно основної електронної підзони. Коли енергія домішкових рівнів менша за дно основної електронної підзони, то збільшення температури НГ спричиняє монотонне зростання концентрації носіїв струму. Якщо ж донорні рівні знаходяться вище за вершину цієї підзони, то маємо монотонно спадну функціональну залежність концентрації електронів від температури, яка виходить на насичення з ростом T .

Порівняння ступеня заповнення основної та збуджених підзон показує, що для більшої області температур ($T \leq 500 \text{ K}$) заповнення основної підзони значно більше, ніж збуджених підзон. Зокрема, для невеликих напруженостей електричних полів, коли виконується закон Ома, обчислено густину провідності 3D-, 2D-, 1D-надграток. Показано, що за наявності глибоких домішок (-750 meV) температурна залежність провідності НГ має характерні максимуми, які визначаються концентраціями домішок та вимірностями НГ. Для домішок з енергією залягання -150 meV отримуємо іншу температурну залежність провідності.

Бойчук В.І. - доктор фізико-математичних наук, професор кафедри теоретичної і прикладної фізики та комп'ютерного моделювання, директор Інституту фізики, математики, економіки та інноваційних технологій;

Білинський І.В. - кандидат фізико-математичних наук, доцент кафедри теоретичної і прикладної фізики та комп'ютерного моделювання;

Пазюк Р.І. - старший викладач кафедри інформатики та обчислювальної математики.

- [1] P. Yu, M. Cardona, Fundamentals of Semiconductors: Physics and Materials Properties (Springer, Berlin, 2010).
- [2] R. Tsu, Superlattice to nanoelectronics (Elsevier, Oxford, 2010).
- [3] Н.В. Ткач, Ю.А. Сети, Физ. техн. полупр. 45, 387 (2011).
- [4] M.V. Tkach et al., Rom. J. Phys. 57, 620 (2012).
- [5] Ju.O. Seti, M.V. Tkach, I.V. Boyko, J. Optoelectron. Adv. Mater. 14, 393 (2012).
- [6] V.A. Holovatsky, V.I. Gutsul, O.M. Makhanets, Rom. Journ. Phys. 52, 327 (2007).
- [7] O.L. Lazarenkova, A.A. Balandin, Journal of Applied Physics 89 (10), 5509 (2001).
- [8] O.L. Lazarenkova, A.A. Balandin, Phys. Rev. B 66, 245319 (2002).
- [9] В.І. Бойчук, І.В. Білинський, Р.І. Пазюк, Фізика і хімія твердого тіла 17(№3), 320 (2016).
- [10] M.A. Cusack, P.R. Briddon, and M. Jaros, Phys. Rev. B 54, R2300 (1996).
- [11] C. Goffaux, V. Lousse, and J.P. Vigneron, Phys. Rev. B 62, 7133 (2000).
- [12] Jianping Wang, Ming Gong, Guang-Can Guo, Lixin Condensed Matter 24 (47), 475302 (2012).
- [13] G. Bastard, Phys. Rev. B 25, 7584 (1982).
- [14] В. Бойчук, Основи теорії твердого тіла (Коло, Дрогобич, 2010).
- [15] R. Mohan, Y. Liang, Cutting Edge Nanotechnology (In Tech, 2010).
- [16] В.Л. Бонч-Бруевич, С.Г. Калашников, Фізика напівпровідників (Наука, Москва, 1990).

V.I. Boichuk, I.V. Bilynskiy, R.I. Pazyuk

Miniband Electroconductivity in Superlattices of Cubic Quantum Dots of the InAs/Ga_xIn_{1-x}As Heterosystem

Drohobych Ivan Franko State Pedagogical University, 3 Stryiska St, Drohobych, 82100, Ukraine, ri.pazyuk@gmail.com

In this paper, the model of InAs/Ga_xIn_{1-x}As cubic quantum dot superlattices (CQDS) of various dimensionality has been proposed. The energy spectra of electrons and holes of the quantum dot superlattice have been determined in the effective mass approximation and modified Kronig-Penney model. In the frame of this model, the spectra of charges of 3D, 2D and 1D-superlattices can be obtained by changing respective distances between the elements of the superlattice. The energy dependence of the electron and hole subbands (under-the-barrier subbands and over-the-barrier subbands) on the wave vector of the superlattice has been calculated. The number of under-the-barrier subbands is determined by QD size and width of each subband is defined by QD size, distances between superlattice elements and subband numerical index.

The dependences of the Fermi energy and concentration of charge carriers on temperature, concentration of impurities, energy of impurity levels have been obtained and analyzed. We have taken account of the dependence of electron relaxation time on temperature caused by scattering of carriers on both phonons and donor centers. The effect of the impurity system on electroconductivity of the CQDS is investigated. It has been shown that in the presence of deep impurities (-750 meV) the temperature dependence of conductivity of the superlattice has characteristic peaks, which are defined by concentrations of impurities and dimensionality of the superlattice. A different temperature dependence of conductivity has been observed for impurities with the energy of occurrence -150 meV.

Key words: quantum dot, superlattice, electronic states, miniband, electroconductivity.